

混凝土坝的 内部观测

混凝土坝的 内部观测

中国科学院水利水电科学研究院编
水利电力部

水利电力出版社

內 容 提 要

本书主要是介紹混凝土壩的內部觀測儀器及觀測技術的基本知識。在儀器方面，着重介紹目前國內所生產的差動電阻式觀測儀器的原理、構造、種類、規格，以及各種觀測儀器的率定及使用方法。

在儀器布置設計和施工方面，闡述了觀測儀器布置設計的原則，以及埋設儀器的方法與要求，同時介紹了一些有關布置設計的實例及施工詳圖。此外，在資料整編及分析方面，為了配合原型結構的觀測工作，強調了進行室內試驗的重要性，并介紹了室內試驗的方法。在最后一章內所介紹的是各種觀測資料的計算、整編及有關實例，特別着重介紹的是由應變換算應力的計算過程。

本書可供水工建築物觀測工作的設計人員、施工人員，以及管理人員和水利科學研究者參考。

混擬土壩的內部觀測

中國科學院 水利水電科學研究院編
水利電力部

2714 S 713

水利電力出版社出版(北京西郊科學路二里沟)

北京市書刊出版業營業許可證出字第105號

水利電力出版社印刷廠排印

新華書店科技發行所發行 各地新華書店經售

850×1168毫米開本 * 5版印張 * 144千字 * 定價(第9類)0.74元

1960年4月北京第1版

1960年4月北京第1次印刷(0001—4,500冊)

編者的話

在党的社会主义建設总路綫的光輝照耀下，为了适应我国水利水电建設事业的蓬勃发展，及其对于原型結構觀測工作所提出的要求，我們在院党委及院領導的正确領導与亲切关怀下，参考了國內外已有資料，吸取了三門峽、新安江及古田等工程的觀測工作經驗和参考了上海科学仪器館制造厂、上海科培仪器厂、南京水利电力仪表厂及水利水电科学研究院仪器工厂制造仪器的經驗，编写了这本书。但由于時間短促及編者經驗不足，书中难免有欠妥和遺漏的地方，誠懇地請讀者予以指正。本书在出版工作上得到水利电力出版社的領導和工作同志的大力帮助，在編寫过程中得到以上有关单位同志的援助，特致謝意。

本书是由本院結構材料研究所趙佩鉅、經萱祿、梁學禮、庄万康、曾修級、李永貴、趙志仁、惠榮炎等同志編写的。

目 录

緒論	5
第一章 仪器的基本概念和原理	9
§1-1 基本概念	9
§1-2 仪器的构造原理	12
§1-3 电纜电阻的影响	15
§1-4 电纜的芯数	17
§1-5 比例电桥的原理	18
§1-6 絶緣电阻	20
§1-7 电阻比变化的符号	21
第二章 仪器的种类及构造	23
§2-1 应变計	23
§2-2 測縫計	27
§2-3 裂縫計	29
§2-4 渗压計	29
§2-5 鋼筋計	31
§2-6 应力計	33
§2-7 溫度計	36
§2-8 比例电桥	37
§2-9 附属设备	38
第三章 觀測布置設計	42
§3-1 溫度的觀測	44
§3-2 应力及应变的觀測	49
§3-3 自由体积变形的觀測	53
§3-4 伸縮縫的觀測	54
§3-5 混凝土內滲透压力的觀測	56
§3-6 其他一般的觀測	58

§3-7	觀測站的布置	59
§3-8	觀測設計圖例及符號	61
§3-9	各類型的觀測布置設計圖例	61
第四章	仪器的率定	67
§4-1	比例電橋的使用方法	67
§4-2	應變計的率定	69
§4-3	測縫計的率定	79
§4-4	鋼筋計的率定	81
§4-5	應力計及土壓計的率定	86
§4-6	滲壓計的率定	91
§4-7	溫度計的率定	93
§4-8	比例電橋的率定	93
第五章	仪器的埋設与施工	96
§5-1	觀測組的建立及籌備工作	96
§5-2	仪器埋設前的准备工作	98
§5-3	仪器的保管	102
§5-4	仪器的附件	103
§5-5	仪器的埋設	107
§5-6	橡皮電纜的埋設	119
§5-7	仪器埋設后的觀測	120
§5-8	仪器埋設后的一些工作	121
第六章	室內試驗及實測	123
§6-1	溫度膨脹系數的試驗	123
§6-2	自生體積變化的試驗	124
§6-3	彈性模數與波松比的試驗	126
§6-4	徐變的試驗	129
§6-5	熱性能的實測	137
第七章	資料的整編	140
§7-1	現場資料的收集	140
§7-2	資料整編的注意事項	141
§7-3	基準值的選擇	142

§7-4 電阻溫度計的計算方法.....	144
§7-5 測縫計及裂縫計的計算方法.....	145
§7-6 鋼筋計的計算方法.....	146
§7-7 應力計的計算方法.....	149
§7-8 滲壓計的計算方法.....	149
§7-9 應變計的應力分析.....	149
§7-10 應變計的計算方法.....	153
§7-11 應變計組的計算方法.....	155
§7-12 應變計的應力計算方法.....	157
§7-13 应用松弛曲綫的應力計算方法.....	165
參考文獻.....	175

緒論

在水工建筑物的設計中，常不免要借助于一些假設，使設計條件簡化，以便進行理論計算。對於較為複雜的結構，還要通過小比例尺的模型（包括軟膠、光彈、立體模型等）試驗，來校核計算結果及驗証設計上的假定。

雖然通過計算工作及模型試驗可以了解水工建築物結構設計中的問題，可是由於施工上產生的難於預見的影響，以及在試驗中邊界條件及試驗材料的模擬上的困難，因此計算工作及模型試驗畢竟還是有一定的局限性的。

為了切實掌握水工建築物在施工期間和運行過程中的實際工作情況，以達到校核設計和監督建築物安全運行的目的，並為將來同類水工建築物的設計和施工提供有價值的資料，有必要展開原型結構的觀測研究。原型的觀測研究，實質上就是一種完全合乎實際條件的大比例尺的立體模型試驗。近20年來，世界上不少的國家已經認識到這項觀測研究工作的必要性，並在這方面做了不少的探討和研究。因此，原型結構的觀測給人們增加了一項求解問題的工具。特別是近年來隨著觀測儀器和觀測技術的進步，以及對於混凝土性質研究的進展，使原型結構的觀測工作有了極大的發展。

原型結構的觀測工作，必須使用相當精密的觀測儀器，並以正確的方法裝置儀器，求得真實的記錄；並對多年積累的資料進行分析，才能獲得預期的成果。雖然從表面上看來，它是一件費用較多、組織規模較大和時間較長的工作，但是就它所產生的效果及作用來說，乃是完全值得的。

隨着我國水利水電建設事業的蓬勃發展，原型結構的觀測工作近年來在我國也有了高速度的進展。但是較早時期的觀測工作

一般是不够全面的。1956年我院在苏联专家B.B.布林可夫(B.B. Блинков)的亲自指导下，开始了原型观测工作的研究，曾对观测仪器的制造、布置设计、施工埋设及观测资料的整理分析等方面进行了系统的研究，并在一些工程中进行了实际的观测工作。这样就使我国的原型结构观测工作展开了一个新的局面。

在观测仪器设备的研究和制造方面，我院与上海科学仪器馆制造厂、南京水利电力仪表厂及上海科培仪器厂合作制成了十余种差动电阻式的观测仪器，这不仅为国家节省了大量外汇，更重要的是满足了工程观测上的要求，为我国观测工作的发展提供了重要的物质条件。

在党的总路綫的光輝照耀下，我国修建了許多大型的水利樞紐，特别是在党的八届八中全会发出反右倾、鼓干勁的号召以后，全国人民积极响应，在党的正确領導下，在全国范围内掀起了一个轰轰烈烈的水利运动，修建了許多水工建筑物。这样就把原型结构的观测工作推上了更高的阶段。根据共产主义大协作的精神，我院同有关設計和施工等单位密切协作，在若干重点工程中已經完成了或者正在进行着观测的布置设计、仪器的装置等工作。

为了适应目前国内迫切的需要，我們拟将原型观测分为两部分来编写：一是混凝土坝的内部观测，一是混凝土坝的外部观测。本书是以混凝土坝的内部观测为对象，介紹如何进行结构内部的应变、应力、温度、渗压、鋼筋应力、伸縮縫的开合、裂縫及体积变化等主要项目的观测。至于混凝土坝的撓度、位移、傾斜、沉陷及基础揚压力等项目的观测，无疑地对于了解坝的稳定性和安全性同样是十分重要的，拟另在“混凝土坝的外部观测”一书中介绍。

对于其他型式的混凝土水工建筑物，如船閘、厂房等的内部观测，亦可参考本书进行，但应考虑到这些建筑物本身的特点和它們在观测上的要求。

本书所包括的内容，只限于观测工作者在观测技术上所必须掌握的基本知識，除此之外，观测工作者还必须熟悉结构力学及

混凝土材料的知識，这样才能更好地进行觀測工作。

在原型結構觀測工作中，首先要掌握仪器的知識。一般內部觀測仪器有鋼弦式及差动电阻式两种，它們在使用上各有利弊。本书主要介紹目前国内生产及使用的差动电阻式仪器的原理、构造及規格。觀測工作者必須預先熟悉仪器的性能，这样才能正确地运用仪器，使它能完滿地合乎实际使用上的目的及要求。

在进行混凝土壩的觀測布置設計时，必須密切地注意到壩体结构的型式、构造、設計計算及模型試驗的成果。还应考虑到壩体所处的具体的地形、地质及气象等条件的不同，重点地选择具有代表性的壩段或截面进行各种觀測仪器的綜合性的布置。总之，要做到合理地布置，使将来获得的資料具有分析的可能性，同时还要掌握經濟的原則。

在有关混凝土壩的觀測問題上，設計部門应当与施工部門密切配合，施工部門有必要明了設計者在觀測上的布置設計意图，同时設計部門也应当密切注意施工期間觀測工作进行的状况，以及觀測所得的成果。

为了完滿地进行仪器的埋設工作，施工部門必須事前有充分的准备。及早地建立觀測小組是十分必要的，这个小組的責任是：熟悉觀測的布置設計意图，学习仪器的埋設方法与技术，筹备觀測仪器、設備及所用的工具，校核仪器制造厂家的率定值，以及进行仪器的装置工作及施工期間的觀測及資料整理工作。

應該強調指出的是，为了分析应变計的觀測成果，必須进行混凝土的彈性模数及徐变等試驗（此項試驗工作往往 是被忽視的），否则将会引起資料整理分析上的困难，甚至无法进行分析工作。

仪器一經埋設后就要按照規定的觀測日期进行觀測，并且必須随时对觀測所得的原始資料进行校核、計算并繪在图上，切不可使資料积压。如在觀測中发现有反常現象时，应迅速查明原因，及时糾正，以免日后无从查对及难于判断当时的情况。

負責觀測工作的单位，应当注意搜集壩体的施工記錄，因为

这对于观测成果的分析，是具有一定意义的。

有了施工期及竣工后坝体处于水荷重及温度变化作用下的相当时期内的仪器实测记录以后，才有可能作出合理的和接近实际的观测结论。关于资料的分析方法，目前还没有一套完整而系统的经验，事实上这种工作必须结合每一个具体工程的具体情况加以研究，才能做出准确的分析及判断。为了便于读者进一步分析和研究混凝土坝的内部观测工作，在本书末列有参考文献的目录，可供读者参考。

第一章 仪器的基本概念和原理

埋設在壩內的遙測儀器，主要是用來觀測混凝土水工建築物的內部狀態，例如觀測其應力、應變、溫度等。埋設在混凝土壩內的遙測儀器，主要有差動電阻式及鋼弦式兩種型式，它們在構造及原理方面各不相同。前者是利用所埋設的儀器由於受到外力作用而使其內部電阻線發生電阻的變化，從而計算出所作用的物理量；後者是利用所埋設的儀器內部的鋼弦發生自振頻率的變化，而獲得所作用的物理量。目前國內多採用差動電阻式儀器，因而本書僅就此类儀器的基本作用原理作一概略性的介紹。

關於鋼弦式儀器的構造原理請參閱蘇聯 A.A. 烏金丘斯及 B.II. 博姆布齊斯基合著的“水工建築物的測驗設備”(1954年)①一書。

§1-1 基本概念

一般金屬導線的電阻與其截面積、長度具有下述關係：

$$R = \rho \frac{l}{A}, \quad (1-1)$$

式中 R ——導線電阻(歐)；

ρ ——電阻率(歐·平方毫米/米)；

l ——導線長度(米)；

A ——導線截面積(平方毫米)。

通常電阻變化有兩種特性：一是隨著導線的應變而變化；另一是電阻隨著導線的溫度而變化。這兩者在一定的範圍內，都存在著正比例的關係。前者可用下式表示：

① 本書中譯本1957年由原水利出版社出版。

$$\frac{\Delta R}{R} = \lambda \frac{\Delta l}{l}, \quad (1-2)$$

式中 ΔR ——导线的电阻变化量；

R ——导线的电阻；

Δl ——导线的变形量；

l ——导线的长度；

$\frac{\Delta l}{l}$ ——导线的应变；

λ ——导线的电阻应变灵敏系数，对于同种类的导线，此值为一常数。

后者可用下式表示：

$$R_t = R_0(1 + \alpha t), \quad (1-3)$$

式中 R_t ——温度为 $t^{\circ}\text{C}$ 时导线的电阻(欧)；

R_0 ——温度为 0°C 时导线的电阻(欧)；

α ——电阻温度系数。普通取温度在 0°C 及 100°C 间的平均值，即

$$\alpha = \frac{R_{100} - R_0}{100 R_0}. \quad (1-4)$$

一般常用的金属材料的 α 值为

铜线 42.5×10^{-4}

镍线 64×10^{-4}

白金线 39×10^{-4}

利用根据惠斯登电桥原理所装置的仪表来测量电阻是较为简便的。这个仪表是由四个形成桥臂的电阻、检流计及电池所组成的，如图 1-1 所示。调整桥臂中的可变电阻 R ，使检流计两端的电位差等于零，即当检流计的指针静止时，电桥四臂的电阻即成平衡状态。此时，彼此之间的关系可用下式表示：

$$\frac{R}{M} = \frac{R_1}{R_2}. \quad (1-5)$$

在一般使用的惠斯登电桥仪表中， R 为仪表内的可变电阻， R_1 、 R_2 为仪表内的比率臂电阻， M 则为外部的被测未知电阻。在本文中，为了结合说明差动电阻式仪器及其量测用的仪表起见，各桥臂的含义与一般惠斯登电桥有所不同，请参看图 1-1 的图注。

当导线产生应变而使其电阻 R_1 变化 ΔR_1 时，为了维持电桥的平衡，可将可变电阻 R 变化 ΔR 。因此，式 (1-5) 可写成：

$$\frac{R \pm \Delta R}{M} = \frac{R_1 \pm \Delta R_1}{R_2}. \quad (1-6)$$

根据式(1-5)的关系，式(1-6)又可写成：

$$\frac{R \pm \Delta R}{R} = \frac{R_1 \pm \Delta R_1}{R_2}. \quad (1-7)$$

设 $R_1 = R_2$ ，根据式(1-2)的关系，则式(1-6)及式(1-7)可写成：

$$\left. \begin{aligned} \frac{\Delta R}{R} &= \frac{\Delta R_1}{R_1} = \lambda \frac{\Delta l}{l}, \\ \text{或 } \frac{\Delta R}{M} &= \frac{\Delta R_1}{R_1} = \lambda \frac{\Delta l}{l}. \end{aligned} \right\} \quad (1-8)$$

从式(1-8)中可以知道，当一根导线的电阻 R_1 产生应变后，调整可变电阻 R ，即可测出导线所产生的应变。

若采用两根导线，使其电阻差动的变化，即当一导线电阻 R_1 由于受拉发生拉应变而增加 ΔR_1 ，而另一导线电阻 R_2 受压发生压应变而减少 ΔR_2 时，这时，调整电阻 R 亦可使之平衡，其关系式可写成：

$$\frac{R + \Delta R}{M} = \frac{R_1 + \Delta R_1}{R_2 - \Delta R_2}. \quad (1-9)$$

利用式(1-5)的平衡条件，将 $M = R \frac{R_2}{R_1}$ 代入式(1-9)，即

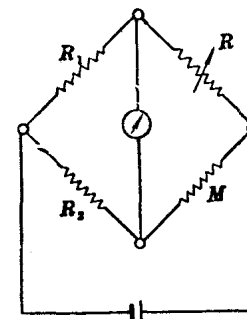


图 1-1

R —仪表内的可变电阻；
 M —仪表内的固定电阻；
 R_1 、 R_2 —仪表外的两导线电阻。

得：

$$\frac{R + \Delta R}{R} = \frac{\left(1 + \frac{\Delta R_1}{R_1}\right)}{\left(1 - \frac{\Delta R_2}{R_2}\right)}. \quad (1-10)$$

設 $R_1 = R_2$, 及两电阻受大小相等而方向相反的应变作用, 則 $|\Delta R_2| = |\Delta R_1|$, 式(1-9)及(1-10)将成为

$$\left. \begin{aligned} \frac{\Delta R}{R} &\approx 2 \frac{\Delta R_2}{R_2} \approx 2 \lambda \frac{\Delta l}{l}, \\ \text{或 } \frac{\Delta R}{M} &\approx 2 \frac{\Delta R_2}{R_2} \approx 2 \lambda \frac{\Delta l}{l}. \end{aligned} \right\} \quad (1-11)$$

由此可見, 若使两相等导綫的电阻差动的变化, 式(1-11)中 ΔR 的变化量将为式(1-8)的 2 倍。

以上是电阻式仪器中的几个基本概念。

§1-2 仪器的构造原理

差动电阻式仪器是由外力作用部分及电气感应部分所組成的, 其中的电气感应部分的构造原理, 对于差动电阻式各类仪器几乎是相同的。它們都是采用高强度的細鋼絲作为电阻綫, 其直徑約為 0.05~0.06 毫米, 抗拉强度在 350 公斤/平方毫米以上。对这两根电阻几乎相等的电阻綫, 預先給予一定的拉力, 并使交错地圍繞在两鋼杆上的瓷制綫框上。为了使两綫圈具有相同的温度, 将两綫圈圍繞在同一中心軸上, 形成內外两綫圈。同时又为了使两綫圈的电阻近似地相等, 外綫圈繞三周, 而內綫圈繞四周, 这样当仪器受到外力作用而使电气感应部分的两綫圈发生变位时, 則其中一綫圈的增加量与另一綫圈的减少量几乎相等, 亦即差动地使两綫圈的电阻发生变化。

图1-2为仪器的电气感应部分的示意图, 图1-3为仪器內部的接綫图。

由图1-3中的两电阻綫引出的三芯綫与量測的仪表相接(其中的中芯綫与电桥的电池相接, 另两芯綫与檢流計的两端相接), 則

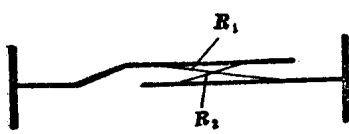


图 1-2

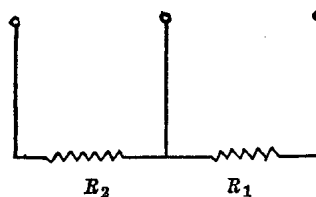


图 1-3

可形成一电桥的桥路，如图1-1所示。

所采用的量测仪表，名为比例电桥（請參看§1-5）。比例电桥中有两桥臂，一为可变电阻 R ，其最小值为0.01欧，最大量測范围为111.10欧；另一为固定电阻 M ，其值为100欧。

因此在式(1-5)中，当电桥平衡时， R 的讀数即为两电阻綫的比值，亦称为电阻比。由于 M 为 100 欧，所以其讀数可讀至 0.01%。令 Z 为两电阻綫的电阻比，则式(1-5)可写成：

$$Z = \frac{R}{M} = \frac{R_1}{R_2}, \quad (1-12)$$

而式(1-11)則为电阻比的变化量，令其为 ΔZ ，則可写成：

$$\Delta Z = \frac{\Delta R}{M} \approx \frac{2\Delta R_2}{R_2} \approx 2\lambda \frac{\Delta l}{l} = \text{常数} \times \text{应变}. \quad (1-13)$$

式(1-13)中的应变为电气感应部分的电阻綫受外力的作用发生变位而获得的。由于应变測距 l （即綫圈两端的距离）在加工上存在着誤差，以及常数 2λ 在电阻綫制造过程（拉綫过程）中的不均匀，所以在同一外力状态下，对于各同类的仪器电阻比的变化量略有不同。各仪器都是以外力作用的量对此相应的电阻比的变化量 ΔZ 的单位比例常数，作为此仪器的灵敏度，以 f 表示之。

当仪器与仪表处在不同温度情况下，电桥的平衡在理論上可用下式表示：

$$\frac{R(1+\alpha_1 t_1)}{M(1+\alpha_1 t_1)} = \frac{R_1(1+\alpha_2 t_2)}{R_2(1+\alpha_2 t_2)}, \quad (1-14)$$

式中 α_1, α_2 ——仪表及仪器的电阻温度系数；

t_1, t_2 ——仪表及仪器的溫度变化量。

由式(1-14)可得出与式(1-5)相同的关系式，即

$$\frac{R}{M} = \frac{R_1}{R_2},$$

因此电桥仍能保持平衡。

若仪器不仅受外力的作用，且受温度变化的影响时，则电桥的平衡式可用下式表示：

$$\frac{(R + \Delta R)(1 + \alpha_1 t_1)}{M(1 + \alpha_1 t_1)} = \frac{R_1 \left(1 + \lambda \frac{\Delta l}{l}\right) (1 + \alpha_2 t_2)}{R_2 \left(1 - \lambda \frac{\Delta l}{l}\right) (1 + \alpha_2 t_2)}. \quad (1-15)$$

由式(1-15)可得：

$$\frac{R + \Delta R}{M} = \frac{R_1 + \Delta R_1}{R_2 - \Delta R_2}. \quad (1-16)$$

式(1-16)与式(1-9)相同，因此亦可得出式(1-11)的結論。从式(1-14)及式(1-15)中可看出，如果两电阻綫不能保持同温，则在観測上会引起很大的誤差。

电阻比在理論上虽不受温度的影响，但某些仪器因其构造上的关系，亦会引起电阻比的变化。这种变化的影响，必須在観測資料的計算过程中考虑进去，它是以单位温度变化的比例常数来表示的，此比例常数亦即称为仪器温度补偿系数。对于各类仪器的温度补偿系数，皆可通过試驗求得。各类仪器的温度补偿系数的含义及試驗方法，请參看第二及第四章所述。

以上是差动电阻式仪器由电阻比的变化而求得所作用的物理量的一些基本原理。这里还应指出，应用这类仪器还可量測溫度。

若在与式(1-15)同一条件下，将仪器的两电阻綫串联起来进行観測时，由于 $R_1 \approx R_2$ ，于是可以得到下式：

$$\begin{aligned} & R_1 \left(1 + \lambda \frac{\Delta l}{l}\right) (1 + \alpha t) + R_2 \left(1 - \lambda \frac{\Delta l}{l}\right) (1 + \alpha t) \\ & = (R_1 + R_2)(1 + \alpha t). \end{aligned} \quad (1-17)$$

由此可見，两电阻綫在串联状态下的变化仅与温度有关，并